

全周辺が柱支持される矩形板の力学的特性

九州大学 正員 山崎 徳也

九州大学 正員 ○山田 喜四夫

九州大学 正員 稲本 武

1. 緒言

板か4隅のみで点支持または固定される矩形板に関しては、等分布荷重が満載される場合について級数解を用いた解法を提案した H. Marcus¹⁾, B.G. Galerkin²⁾, A. Nadai³⁾ やび C.J. Thorne⁴⁾ の研究がある。また, S.L. Lee⁵⁾ らは板の弾性断面として6個の未定係数を含む式およびその多項式を仮定することにより近似解法を提案した。集中荷重が板中央に作用する場合には H. Marcus¹⁾ の研究がある。任意状態に対しては差分法や Finite Element Method⁶⁾ による近似解法が可能である。

板か4隅の他に、その周辺に沿って少くとも1つ以上の柱または点支承にて支持されるごとき矩形板に、任意垂直荷重が作用する場合については、上述の諸解法のうち、差分法および F.E.M を除けばいすれも適用が不可能である。また、差分法および F.E.M を直接用いる場合には周辺の支持点の増大にともなって、より多くの分割を考え解析せねばならず、そのため高速電子計算機による多大の演算時間を要することになり、必ずしも実用的とはいいかない。

これに対して1辺またはそれ以上の辺が柱または点支承にて支持される矩形板に対して著者らが提案した方法⁷⁾、すなわち、未知不静定力を適当に取り除いたより簡単な構造形式の矩形板（基本構）に関する断面諸量をあらかじめ算出のうえ、これを用いて基本連立方程式を解き本題の矩形板の解を求めることにより方法では基本構の解のみを用いて解析できる。基本構の1対辺が单纯支持される場合には級数解を用いてその断面諸量の厳密値を算出することができます。また、任意の境界条件に対しては差分法や F.E.M により近似的に解析できるか、これらを用いる場合も単に基本構の解のみを求めればよいから、主系の柱または点支承の増大にともなって必ずしも分割を増大する必要はなく、本法は極めて実用的であるといえる。

本研究は上述の著者らの方法を拡張応用して4隅の他に柱または点支承で支えられ、かつ任意垂直荷重の作用を受けけるごとき矩形板の解法を提示するとともに、その力学的特性について考察せんとするものである。

2. 解法原理

板と柱とが直交して剛結する場合には、板から柱に垂直反力、 X 、 \pm 方向の水平反力、曲げモーメントおよび振りモーメントが伝えられるが、板面内の振りモーメントおよび水平反力はそれぞれ微小であるからこれらを無視することにする（図-1 参照）。しかるとき、4隅の点支承の他にその中间で1個の柱で支えられるごとき矩形板の柱反力を求めるための基本連立方程式は、文献(7)と同様の考察により、次のごとくえられる。

$$\begin{bmatrix} A_{1k}^d & A_{1k}^d & \cdots & A_{1k}^d & B_{1k}^d & \cdots & B_{1k}^d & \cdots & B_{1k}^d & C_{1k}^d & \cdots & C_{1k}^d & \cdots & C_{1k}^d \\ A_{2k}^d & A_{2k}^d & \cdots & A_{2k}^d & B_{2k}^d & \cdots & B_{2k}^d & \cdots & B_{2k}^d & C_{2k}^d & \cdots & C_{2k}^d & \cdots & C_{2k}^d \\ A_{3k}^d & A_{3k}^d & \cdots & A_{3k}^d & B_{3k}^d & \cdots & B_{3k}^d & \cdots & B_{3k}^d & C_{3k}^d & \cdots & C_{3k}^d & \cdots & C_{3k}^d \end{bmatrix} \cdot X = \begin{bmatrix} L_k^d - d_k \\ L_k^d - \theta_{Xk} \\ L_k^d - \theta_{Yk} \end{bmatrix} \quad (1)$$

ここに、 $X = \{R_1 R_2 \cdots R_i \cdots R_r M_{x1} M_{x2} \cdots M_{xi} \cdots M_{xr} M_{y1} M_{y2} \cdots M_{yi} \cdots M_{yr}\}^T$

R : 柱の垂直反力を上向きを正とする。 M_{xx}, M_{yy} : 柱の頭部における x および y 方向の反力モーメントで、原点側からみてそれが右または左および逆まわりを正とする。 dr : 柱の垂直変位で下向きを正とする。 θ_{xx}, θ_{yy} : M_{xx}, M_{yy} にそれぞれ対応する柱の頭部の回転変位である。ここで、本題の板構造から図上の柱をすべて取り除いてえられた 4 隅点支持の矩形板を基本構と名付ければ、式(1)の俌数行列における各要素および右辺方 1 項はそれぞれ基本構の断面諸量で与えられる形状定数および荷重項であり、文献(7)に示すとおり物理的意味をもつ。形状定数および荷重項を種々の基本構についてあらかじめ求めておけば式(1)を連立に解くことにより、柱の不静定反力が導き出される。したがって、図-1に示す板構造は垂直荷重とともに柱の垂直反力および反力モーメントをも荷重として受けた基本構、すなわち 4 隅点支持矩形板の問題に帰するこになり、重ね合わせの原理からその断面諸量が簡単にえられる。

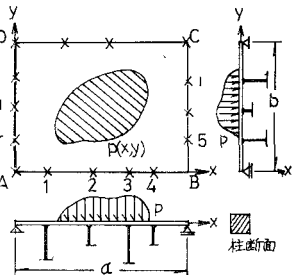
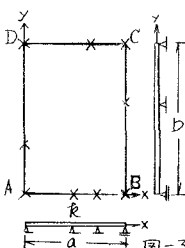


図-1

3. 計算結果

4 隅点支持矩形板を基本構として選び、有限要素法における stiffness matrix の連行列を求め、これを用いて種々の荷重状態の解を求める。まず、板全面に荷重強度 α の等分布荷重が満載される場合には、基本構のたわみおよび曲げモーメント M_x が表-1 のようにえられる。ただし、正方形板でポアソン比 ν を 0.3 とした。 6×6 分割の F.E.M. で求めた値は、級数解よりえられた H. Marcus の値と比較して、たわみでは殆んど一致し、曲げモーメント M_x は板中心点で約 4.2 %、辺中央点で約 7.9 % 大きい値となるが、分割をさらに細かく取れば誤差は減少するものと思われる。図-2 は F.E.M. を用いて基本構のたわみおよび曲げモーメントを種々の荷重状態について求めたものである。

次に、4 隅の点支持に加えて周辺においても点支持される矩形板の解を求める (図-3 参照)。かかる



場合には、反力モーメントがないゆえ式(1)は次のとく簡単になる。

$$\{A_{1k}^T A_{2k}^T \cdots A_{pk}^T \cdots A_{pk}^T\} \{R_1 R_2 \cdots R_p\}^T = \{L_{rk}^T - dr_k\} \quad k=1,2, \dots, p \quad (2)$$

いま、1 個の中間支点 R が辺 AB 上に設けられているとき、中間支点 R の位置に応じる形状定数および荷重項が表-2 のごとくえられ、したがってこれら諸

	たわみ	$\alpha P a^4 / 6$	曲げモーメント M_x	$\alpha P a^2$
(x, y)	(1/2, 1/2)	(1/2, 0, 0)	(1/2, 1/2)	(1/2, 0, 0)
F.E.M. (6×6)	0.02493	0.01729	0.1135	0.1515
H. Marcus	0.02487	0.01705	0.1090	0.1494
S.L.Lee	0.02607	0.01861	0.1104	0.1542
B.G.Galerkin	0.02638	0.01805	0.1109	0.1527

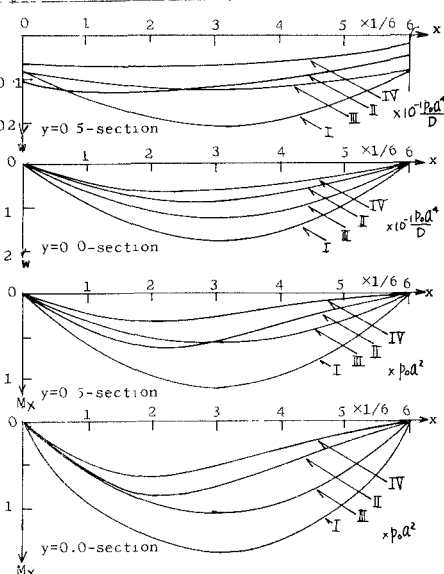


図-2 $y=0.5$ 作用荷重状態をそれぞれ荷重状態工具と呼ぶ。

値を式(2)に代入し、さらに支点以外のものとして解けば、中间支点 x の垂直反力 R_k が表-3のように求められる。図-4は表-3をグラフにしたものであるが、中间支点 x が隅に近づくにつれてその垂直反力 R_k は増大する。たとえば、全面荷重分布荷重が作用するとき、辺AB上の1/6点に中间支点 x がある場合の垂直反力 $R_k(1/6)$ は中央点にある場合の垂直反力 $R_k(1/2)$ に比べて約38%大きいことが認められる。図-5は辺ABと板中央点とのたわみおよび曲げモーメント M_x をそれぞれ示したものである。

位置 x $\times 1/6$	形状定数 A_{ik}^d	荷重頂 L^k			
		荷重状態 I	荷重状態 II	荷重状態 III	荷重状態 IV
1	0.022060	0.008920	0.004859	0.006259	0.003533
2	0.048691	0.015065	0.007977	0.010671	0.005735
3	0.059200	0.017293	0.008647	0.012240	0.006120
4	0.048692	0.015065	0.007089	0.010671	0.004937
5	0.022060	0.008920	0.003961	0.006259	0.002727

表-2

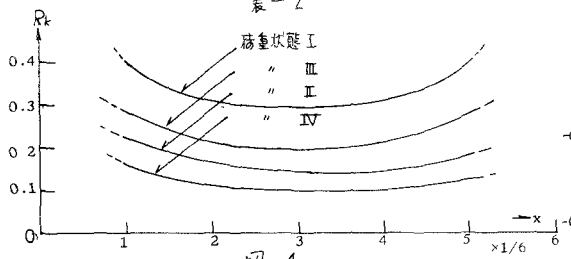


図-4

表-3

x/A_b	中間支点、反力 R_k			
	荷重状態 I	荷重状態 II	荷重状態 III	荷重状態 IV
1	0.39980	0.22027	0.28373	0.16013
2	0.30945	0.16385	0.21919	0.11779
3	0.29211	0.14606	0.20675	0.10338
4	0.30945	0.14560	0.21919	0.10140
5	0.39980	0.17953	0.28373	0.12359

また、辺AB上において $x = a/3$ および $x = 2a/3$ の位置で同時に点支持される場合の演算結果を示せば表-4のとおりである。このとくえられ、全面荷重分布荷重を受けるときのたわみおよび曲げモーメント M_x を求めれば図-7のとおりである。

次に、周辺が柱にて支持される場合、柱に生じる不静的反力を求めることは点支持のそれと全く同様にして

荷重状態	支点位置 $x = a/3$	支点位置 $x = 2a/3$
I	0.17536	0.17536
II	0.12646	0.04890
III	0.12421	0.12421
IV	0.09604	0.02727

表-4 中間支点、反力 $R_k (x \times 10^3)$

$v=0.3$

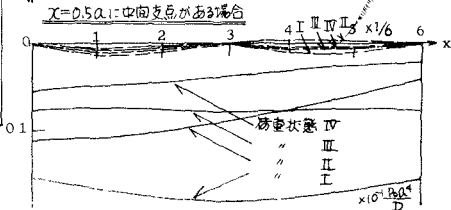
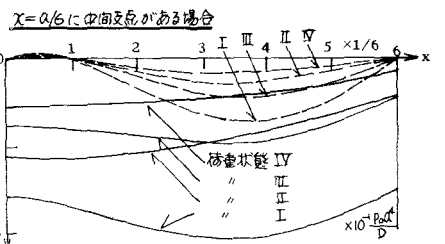
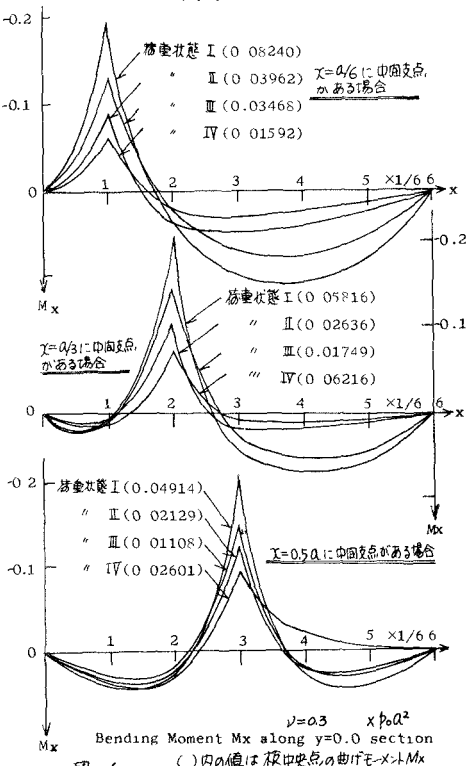


図-5 たわみ $v=0.3$



て解析可能である。いま、図-8のように $(\alpha/3, 0)$ 点において柱支持され、かつ板の左側半分のみに荷分布荷重が載荷される場合には、式(1)の形状定数および荷重項は表-5のとおり諸値をとる。表-5の値を式(1)に代入して連立に解けば不静定反力 R_R , M_{Rk} , M_{RK} が次のように求められる。

$$R_R = 0.1643 \text{ } p_0 a^2, \quad M_{Rk} = -0.0039 \text{ } p_0 a^3$$

$$M_{RK} = -0.0249 \text{ } p_0 a^3$$

本例題においては垂直反力は点支持の場合に比べて0.3%増大するにすぎず殆んど一致する。また、たわみは図-9のようにえられた板中央点における点支持の場合の値に比べ約12.2%減少する。

4. 結語

本研究は4隅の他に周辺が柱または点支承で支えられるごとき矩形板の解法と、これまで求められた演算結果を提示したものであるが、本法によれば、單に4隅で点支持される矩形板にF.E.Mを適用し、その stiffness matrix の逆行列を求める過程において電子計算機を必要とするに過ぎず、他の不静定力の算定や板の断面諸量の算出は全て手計算で行うことができる、極めて実用的であるといえる。

また、本法を拡張應用すれば、單に本研究で求めた4隅点支持矩形板の stiffness matrix の逆行列を用いることにより

4隅が固定または柱にて支持され、かつ中间柱をもつごとき矩形板や全周辺が柱にて支持される多層矩形板の解析も可能であり、これらにつ

いては後日報告の予定である。

References:

- 1) H. Marcus : Die Theorie elastischer Gewölbe und ihre Anwendung auf die Berechnung biegsamer Platten. Springer Verlag, Berlin, 1932
- 2) B.G. Galerkin : Collected Works Vol. 2, I.A.N. SSSR
- 3) A. Nadai : Z. angew. Math. Mech., 2, 1 (1932)
- 4) C.J. Thorne : J Appl Mechanics, V15 1948, p14
- 5) S.L. Lee and Ballesteros. Uniformly Loaded Rectangular Plate Supported at the Corners, Int. J. Mech. Sci. 2, 1960
- 6) William T.J. Shueh & S.L. Lee : Analysis of Plate Bending by Triangular Element, Proc ASCE, October, 1968
- 7) 山崎、山田、橋木：周辺が柱にて支持される矩形板の力学的特性、第24回土木学会季次学術講演会構造機械(544,10)
- 8) K. Girkman : Flächentragwerk, Wien-Springer-Verlag, sechste Auflage, 1963

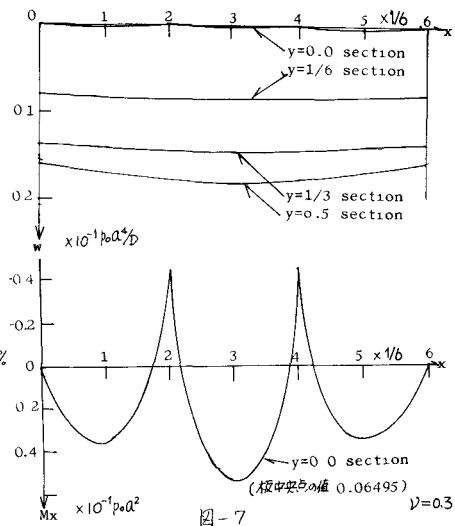


図-7

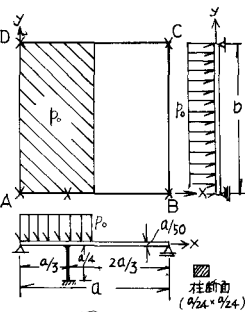


図-8

形状定数	荷重項
$A_{11}^d = 0.048686$	$L_1^d = 0.010671$
$B_{11}^d = 0.060812$	$L_2^d = -0.018546$
$C_{11}^d = -0.010510$	$L_3^d = -0.006341$
$A_{11}^s = 0.060812$	
$B_{11}^s = 0.746987$	
$C_{11}^s = -0.082621$	
$A_{11}^m = 0.105105$	
$B_{11}^m = 0.082622$	
$C_{11}^m = -1.10145$	

表-5

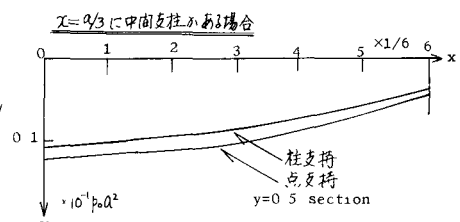


図-9 たわみ (荷重状態II) $\nu=0.3$